

CdS 薄膜的化学沉积法制备及其特性的研究

孙学柏, 张希清, 杜鹏, 常笑薇, 王俊玲, 黄世华

北京交通大学光电子技术研究所, 信息存储、显示与材料开放实验室, 北京 100044

摘要 用化学沉积方法在沉积温度为 90 ℃下制备了 CdS 薄膜。研究了直接退火处理和涂敷 CdCl₂ 甲醇饱和溶液后退火处理对 CdS 薄膜的影响。利用 X 射线衍射、扫描电子显微镜对薄膜的晶体结构、表面形貌进行了研究, 发现没有任何处理的 CdS 薄膜没有明显的晶型; 直接退火处理促进了 CdS 立方相的结晶, 晶粒没有增大且生长出许多细小的晶粒; 涂敷 CdCl₂ 甲醇饱和溶液后退火处理不仅极大地促进了 CdS 六角相的结晶, 而且晶粒增粗增大, 表面更加光滑。用吸收光谱研究了薄膜的光学特性, 发现退火使薄膜的禁带宽度变窄, 涂敷 CdCl₂ 甲醇溶液后退火处理使吸收边变陡和带尾变小。表明涂敷 CdCl₂ 甲醇溶液退火处理明显改善 CdS 薄膜的结晶质量和光学性质。

关键词 化学沉积; CdS 薄膜; CdCl₂ 处理; 退火

中图分类号: O484.1 **文献标识码:** A **文章编号:** 1000-0593(2007)01-0032-03

引言

CdS 是化学性能稳定的宽禁带半导体材料。在许多太阳能电池中作为 n 型半导体层和吸收层, 如与 Cu(In Ga)Se, CdTe 等 p 型层组成 pn 结, 从而构成太阳能电池。在这些器件中, 光透过 CdS 窗口层被 pn 结附近的 p 型半导体吸收^[1, 2]。CdS 薄膜的质量直接影响在此基础上制备的吸收层薄膜质量的好坏, 对电池的效率和寿命是非常重要的。

制备 CdS 薄膜的方法很多, 如溅射、丝网印刷、热蒸发、电沉积、化学沉积(chemical bath deposition, 简称 CBD)等^[3]。在众多的制备方法中, 化学沉积(CBD)方法设备简单、成本低廉、容易生长均匀致密的 CdS 薄膜^[4], 是最有发展潜力的方法。目前最高效率的 Cu(In Ga)Se, CdTe 太阳能电池都是在用 CBD 方法制备的 CdS 薄膜上实现的^[5]。由于通常 CBD 方法制备的 CdS 薄膜有良好的化学配比, 所以有很高的暗电阻和很高的光敏系数 $10^6 \sim 10^9$ ^[4], 然而退火对薄膜的结构、晶粒尺寸、光能隙、载流子寿命都有重要的影响, 优化退火条件从而改善整个电池的性能^[4-6]。此外涂敷 CdCl₂ 处理在其他半导体光伏器件上有巨大的作用^[1]。Morris^[7]等人报道了用 CdCl₂ 处理 CdS 薄膜有延长电池寿命的作用。本文用化学沉积方法(CBD)制备 CdS 薄膜, 研究涂敷 CdCl₂ 处理和退火对 CdS 薄膜晶格结构、表面形貌、光学性质的影响。

1 实验

取 3 块规格为 2 cm×5 cm 的普通平板玻璃, 在玻璃上做好标记, 分别是 a, b, c 基片, 然后用清洗剂清洗, 再用丙酮、乙醇和去离子水进行超声波清洗。

实验药品按乙酸镉 1×10^{-3} mol·L⁻¹、乙酸氨 1×10^{-2} mol·L⁻¹、硫脲 3×10^{-3} mol·L⁻¹、氨水 5×10^{-2} mol·L⁻¹ 配成 300 mL 溶液并加热。将清洗干净的基片放入溶液中, 持续搅拌并迅速加热到 90 ℃, 使薄膜在基片上生长, 并持续一定的时间。薄膜生长结束时将 CdS 薄膜取出, 再用去离子水超声清洗掉薄膜表面的絮状颗粒沉淀, 然后用高纯氮吹干。在相同条件下得到的 3 块均匀透明、有黄色光泽的 CdS 薄膜。其中标记 a 的 CdS 薄膜不作任何处理, 标记 b 的样品进行直接退火处理, 标记 c 的样品进行涂敷 CdCl₂ 甲醇饱和溶液后再退火处理。退火过程是在氮气保护下进行, 退火温度为 400 ℃, 退火时间为 30 min。

2 结果与讨论

2.1 CdS 薄膜晶体结构的 XRD 表征

CdS 薄膜的 XRD 衍射谱如图 1 所示, 其中图 1(a)为没有任何处理的标记 a 的 CdS 薄膜的衍射谱, 图 1(b)为退火后标记 b 的 CdS 薄膜的衍射谱, 图 1(c)为 CdCl₂ 处理后退火的

收稿日期: 2005-10-30, 修订日期: 2006-02-10

基金项目: “973”项目(2003CB314707), 国家自然科学基金项目(60476005)和教育部留学基金项目资助

作者简介: 孙学柏, 1980 年生, 北京交通大学光学专业硕士研究生

标记 c 的 CdS 薄膜的衍射谱。由图 1(a)可以看出, 在 2θ 为 26.5° 处有一不强烈的衍射峰, 说明没有任何处理的 CdS 薄膜结晶性不好, 没有明显的晶型; 从图 1(b)可见, 在 2θ 为 26.5° 处有强烈的衍射现象, 并且在 24.9° 和 28.3° 处出现了微弱的衍射峰, 说明 CdS 薄膜立方相结晶得到了明显的加强^[8], 六角相结晶微弱。由图 1(c)可以看出, 在 2θ 为 24.9° , 26.6° , 28.3° 处形成了强烈的衍射峰, 在 43.9° , 48.1° , 52.1° 处也能分辨出微弱的衍射峰, 说明 CdS 薄膜为良好的六角相结晶结构^[8]。比较图 1(a), (b), (c) 可以看出, 退火处理促进了 CdS 薄膜的重结晶, 尤其以立方相结晶强烈。CdCl₂ 处理后退火明显加强了 CdS 薄膜六角相的重结晶。立方晶系和六角晶系的薄膜都可以用来制备太阳能电池, 但是六角晶系由于其稳定性更适合制备窗口层^[9]。

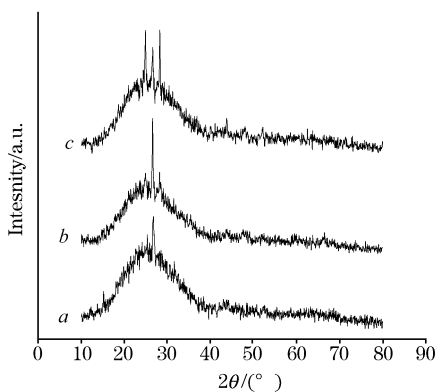


Fig. 1 XRD for Cds thin films (a) as deposited, (b) annealed, (c) CdCl₂ treated and annealed

2.2 CdS 薄膜表面形貌的 SEM 测试

图 2 为 CdS 薄膜的 SEM 图, 其中图 2(A) 为没有任何处理的标记 a 的 CdS 薄膜的 SEM 图, 图 2(B) 为退火后标记 b 的 CdS 薄膜的 SEM 图, 图 2(C) 为 CdCl₂ 处理后退火的标记 c 的 CdS 薄膜的 SEM 图。从图中看出没有任何处理的 CdS 薄膜的晶粒细小均匀, 晶粒大小约为 75 nm, 退火后的 CdS 薄膜的晶粒与没有任何处理的 CdS 薄膜的晶粒大小相仿, 但在原来结晶的基础上生长了很多细小的晶粒, 而且表面变得粗糙。经 CdCl₂ 处理后退火的 CdS 薄膜与没有任何处理的 CdS 薄膜相比晶粒长大了很多, 晶粒大小约为 150 nm, 而且表面变得光滑。表明单纯的退火处理并没有促进晶粒的生长, CdCl₂ 处理能有效地促进晶粒的生长。粗大的晶粒和光滑的表面应有助于 CdS/CdTe, CdS/CuInSe 晶面的形成和生长均匀一致的吸收层薄膜^[10]。

2.3 CdS 薄膜的吸收光谱

图 3 为 CdS 薄膜的吸收光谱图, 其中图 3(a) 为没有任何处理的标记 a 的 CdS 薄膜的吸收光谱, 图 3(b) 为退火后的标记 b 的 CdS 薄膜的吸收光谱, 图 3(c) 为 CdCl₂ 处理后退火的标记 c 的 CdS 薄膜的吸收光谱。比较图 3(a) 和 (b) 两条曲线可以看出, 退火处理使薄膜吸收边向长波方向移动, 说明退火处理使 CdS 薄膜禁带宽度变窄, 这与前人的研究成果吻合^[4]。退火影响禁带宽度是由于薄膜的重结晶、硫的挥发以及薄膜的自身氧化等^[4]。经 CdCl₂ 处理后退火的 CdS 薄膜的

吸收边在禁带宽度附近得到了明显的改善: 与直接退火处理相比吸收边蓝移并且变得更加陡峭。吸收边的改善可能与减少了晶界散射, 表面散射和体缺陷密度的减少有关系^[10]。这有利于改善电池的性能^[1]。

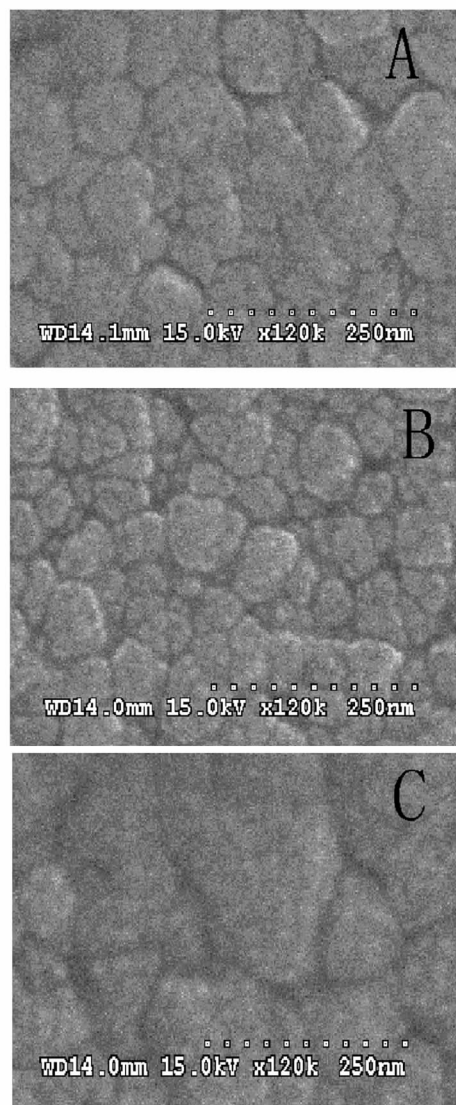


Fig. 2 SEM images of Cds thin films (A) as deposited, (B) annealed, (C) CdCl₂ treated and annealed

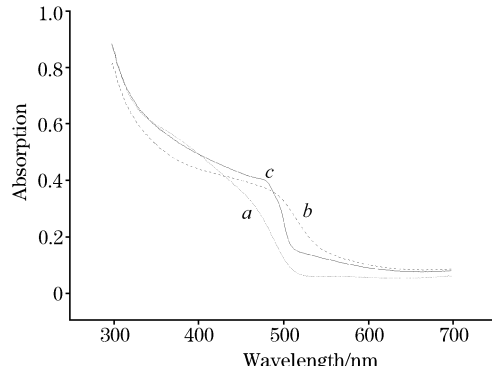


Fig. 3 Absorption spectra of Cds thin films (a) as deposited, (b) annealed, (c) CdCl₂ treated and annealed

3 结 论

用化学沉积方法制备了 CdS 薄膜，没有任何处理的 CdS 薄膜结晶不良，没有明显的晶型。表面晶粒细小而均匀，光

学性质良好。氮气保护下 400 ℃退火 30 min 后，薄膜为立方相和六角相的混晶结构，表面变得混乱，在原来晶粒周围生长出许多细小的晶粒。禁带宽度明显减小。经 CdCl₂ 处理和退火后晶相由不明显的结晶相转为六角相、晶粒明显增粗增大、缺陷减少、光学性质明显改善。

参 考 文 献

- [1] Moutinho H R, Albin D, Yan Y, et al. Thin Solid Films, 2003, 436: 175.
- [2] Dieter Bonnet. Thin Solid Films, 2000, 361: 547.
- [3] CHU Xiang-qiang, XIE Da-tao, MENG Tie-jun, et al(储祥蔷, 谢大弢, 孟铁军, 等). Spectroscopy and Spectral Analysis(光谱学与光谱分析), 2003, 23(4): 625.
- [4] Metin H, Esen R. Journal of Crystal Growth, 2003, 258: 141.
- [5] Ximello-Quiébras J N, Contreras-Puente G, et al. Solar Energy Materials & Solar Cells, 2004, 82: 263.
- [6] HUANG Xiao-rong, ZHENG Jia-gui, CAI Wei, et al(黄小融, 郑家贵, 蔡伟). Semiconductor Optoelectronics(半导体光电), 1998, 19: 404.
- [7] Morris G C, Das S K. Conference Record of the Twenty-Sixth IEEE. 1997. 469.
- [8] Yeh C. Phys. Rev. B: Condens. Matter, 1992, 46: 10086.
- [9] Kodigala Subba Ramaiah, Pilkington R D, Hill A E, et al. Materials Chemistry and Physics, 2001, 68: 22.
- [10] Sung Chan Park, Byung Wook Han, Jin Hyung Ahn, et al. Conference Record of the Twenty-Third IEEE. 1993. 531.

Study on the Property of CBD-CdS Thin Films

SUN Xue-bai, ZHANG Xi-qing, DU Peng, CHANG Xiao-wei, WANG Jun-ling, HUANG Shi-hua

Institute of Optoelectronics Technology, Laboratory of Materials for Information Storage and Display, Beijing Jiaotong University, Beijing 100044, China

Abstract CdS thin films were prepared by chemical bath deposition (CBD) at 90 ℃. The influence of annealing and CdCl₂ treatment on CBD-CdS thin film was studied. XRD and SEM were used to study the crystal structure and surface morphology of the films. The untreated CBD-CdS films had poor crystallinity; the CdS thin film made with annealing treatment had cubic crystallinity but small grain size. After the CdCl₂ treatment, these films recrystallized to the hexagonal phase, resulting in a better crystallinity, and smooth surface morphology. Optical properties were studied by absorption spectrum. The energy gap of the films was found to decrease by annealing, and the CBD-CdS made with CdCl₂ treatment had a lower density of planar defects. In conclusion, the CdCl₂ treatment can improve the properties of the CdS thin films.

Keywords Chemical bath deposition; CdS film; CdCl₂ treatment; Annealing

(Received Oct. 30, 2005; accepted Feb. 10, 2006)